

Dielettrici

Confrontati con i conduttori:

elettroni legati permanentemente agli atomi/molecole
non ci sono elettroni liberi
non ci può essere conduzione

Effetti elettrici: polarizzazione

Due tipi di atomi/molecole:

privi di momento di dipolo proprio (es. atomo di H)
con momento di dipolo proprio (es. molecola H₂O)

Osservazione su moto cariche:

Cariche microscopicamente in movimento (elettroni atomici),
macroscopicamente ferme (stati legati)

→ no corrente

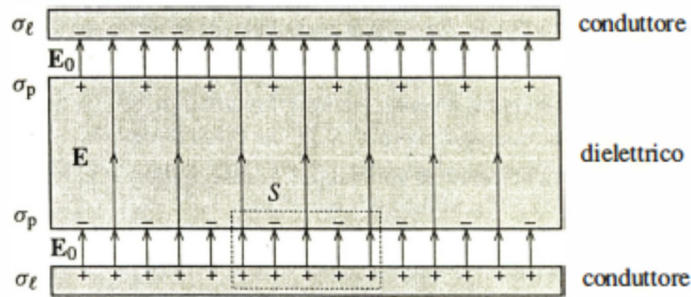
Costante dielettrica:

Condensatore piano caricato a tensione V_0

$$C_0 = \epsilon_0 \frac{A}{d} \rightarrow Q = C_0 V_0$$

Staccata la batteria (\leftarrow a carica costante: $Q = \text{cost}$)
si inserisce una lastra dielettrica fra le armature

$$V_0 \rightarrow V < V_0 \quad V = \frac{V_0}{\kappa}, \kappa > 1 \quad \text{sempre}$$



Nuova capacita':

$$Q = C_0 V_0 = CV$$

$$V_0 \rightarrow V = \frac{V_0}{\kappa} < V_0 \Rightarrow C_0 \rightarrow C = \kappa C_0 = \kappa \epsilon_0 \frac{A}{d} > C_0 \quad \text{cap. aumentata}$$

$\epsilon = \kappa \epsilon_0$ permittivita' del materiale

Altro simbolo e nome:

$\epsilon_r = \kappa$ cost. dielettrica relativa, $\epsilon = \epsilon_r \epsilon_0$ cost. dielettrica assoluta

Fra le armature:

Diff. di potenziale diminuita \rightarrow C. elettrico diminuito

$$E_0 \rightarrow E = \frac{E_0}{\kappa}$$

Origine della diminuzione:

Teo. di Gauss, sup. gaussiana in figura

$$ES = \frac{\sigma S}{\epsilon_0}, \text{ flusso attraverso sup. di base nel dielettrico}$$

Altri contributi nulli, σ densita' sup. di carica totale

$$\rightarrow E = \frac{\sigma}{\epsilon_0} \rightarrow \frac{E_0}{\kappa} = \frac{\sigma}{\epsilon_0} < E_0 = \frac{\sigma_f}{\epsilon_0} \quad \text{c. elettrico nel vuoto}$$

$$\rightarrow \sigma < \sigma_f \rightarrow \sigma = \sigma_f - \sigma_p \quad \text{presenza di cariche di polarizzazione}$$

Origine cariche di polarizzazione:

a) Mom. di dipolo indotto

Modello atomico semplificato:

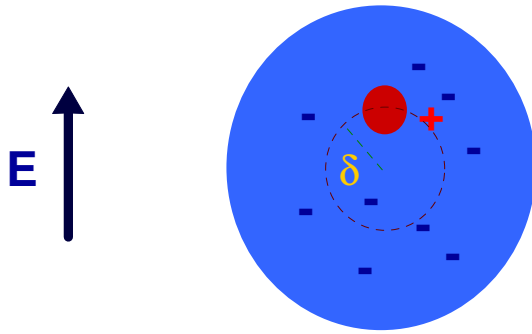
Carica +va puntiforme (nucleo)

Carica -va distribuita (elettroni)

Centri sovrapposti in assenza di c. esterno

In un campo esterno: spostamento relativo dei centri di carica

→ Distorsione → Mom. di dipolo indotto



Campo nel punto in cui si trova il nucleo:

quello dovuto alla carica contenuta entro il raggio δ

$$E_{\text{int}} = \frac{1}{4\pi\epsilon_0} \frac{q(\delta)}{\delta^2} = \frac{1}{4\pi\epsilon_0} \frac{Ze}{R^3} \delta$$

$$\rightarrow F = ZeE_{\text{int}} = \frac{1}{4\pi\epsilon_0} \frac{(Ze)^2}{R^3} \delta$$

Equilibrio:

$$ZeE_{\text{int}} = ZeE$$

$$\frac{1}{4\pi\epsilon_0} \frac{(Ze)^2}{R^3} \delta = ZeE \rightarrow \frac{1}{4\pi\epsilon_0} \frac{Ze}{R^3} \delta = E$$

$$\rightarrow \delta = 4\pi\epsilon_0 \frac{R^3}{Ze} E$$

C. esterno distorce leggermente la struttura atomica inducendo un momento di dipolo elettrico

$$p = (Ze)\delta = 4\pi\epsilon_0 R^3 E$$

$$p = \alpha E \quad \alpha \text{ polarizzabilita'}$$

$$\rightarrow \alpha = 4\pi\epsilon_0 R^3$$

Esempio: atomo di idrogeno

$$\alpha = 4\pi\epsilon_0 R^3$$

$$R = 0.5310^{-10} m$$

$$\rightarrow \alpha = 12.56 \cdot 8.82 \cdot 10^{-12} \cdot 0.12 \cdot 10^{-30} = 1.310^{-41} Fm^2$$

Vettore polarizzazione: Mom. di dipolo indotto/volume

$$|\mathbf{P}| = Np = Nq\delta, \quad \mathbf{P} \parallel \mathbf{E} \quad N \text{ n. molecole/volume}$$

$$\rightarrow \mathbf{P} = N4\pi\epsilon_0 R^3 \mathbf{E} = N\alpha \mathbf{E}$$

$$\alpha = 4\pi\epsilon_0 R^3 \quad \text{polarizzabilita' per deformazione della molecola}$$

b) Mom. di dipolo permanente

Caso di atomi(raro)/molecole(frequente) dotati di mom. di dipolo proprio

In assenza di c. esterno:

Equilibrio statistico, nessuna direzione preferita per i dipoli

→ Mom.di dipolo medio = 0

In presenza di c. esterno:

Distribuzione statistica dell'angolo θ fra direzione dipolo i -esimo e \mathbf{E} :

$$\frac{dn}{d\theta} = n_0 e^{\frac{p_0 E \cos \theta}{kT}}, \quad \text{da distribuzione di Boltzmann}$$

$$\rightarrow \frac{dn}{d\theta} \approx n_0 \left(1 + \frac{p_0 E \cos \theta}{kT} \right), \quad T \gg 0$$

Normalizzazione a unita' di volume:

$$\int_{\text{ang. solido}} \frac{dn}{d\theta} d\Omega = N \rightarrow \int_{\text{ang. solido}} n_0 \left(1 + \frac{p_0 E \cos \theta}{kT} \right) d\Omega = N$$

$$\rightarrow n_0 4\pi + n_0 \frac{p_0 E}{kT} \int_{\text{ang. solido}} \cos \theta d\Omega = N \rightarrow n_0 = \frac{N}{4\pi}$$

$$\rightarrow \frac{dn}{d\theta} \approx \frac{N}{4\pi} \left(1 + \frac{p_0 E \cos \theta}{kT} \right), \quad T \gg 0$$

Vettore polarizzazione: Mom. di dipolo/unita' di volume

$$|\mathbf{P}| = \int_{\text{ang. solido}} \frac{N}{4\pi} \left(1 + \frac{p_0 E \cos \theta}{kT} \right) p_0 \cos \theta d\Omega$$

$$\rightarrow |\mathbf{P}| = -\frac{N}{2} \int_{\text{ang. solido}} p_0 \frac{p_0 E \cos \theta}{kT} \cos \theta d(\cos \theta)$$

$$= -\frac{N}{2} \frac{p_0^2 E}{kT} \int_{+1}^{-1} \cos^2 \theta d(\cos \theta) = -\frac{N}{6} \frac{p_0^2 E}{kT} \cos^3 \theta \Big|_{+1}^{-1}$$

$$\rightarrow \mathbf{P} = \frac{N}{3} \frac{p_0^2 \mathbf{E}}{kT}$$

Vettore \mathbf{P}

Dielettrico lineare, isotropo:

$$\mathbf{P} = \varepsilon_0 \chi_e \mathbf{E}, \text{ proporzionalita' + parallelismo}$$

NB \mathbf{E} campo *totale* agente sul dipolo = \mathbf{E}_{ext} + effetto polarizzazione

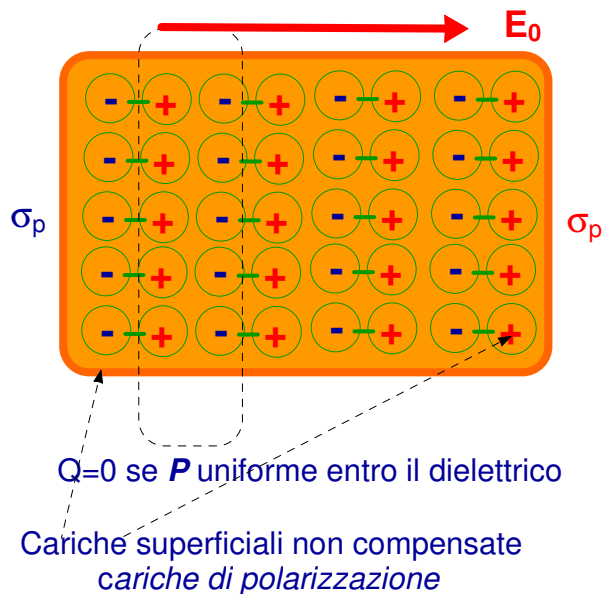
χ_e suscettivita' dielettrica

Dimensioni:

$$[P] = [Q][L][L^{-3}] = [Q][L^{-2}] = [\sigma], \quad [\chi_e] \text{ adimensionale}$$

Polarizzazione uniforme:

Es caso dielettrico nel condensatore piano



$$|\sigma_p| = Nq\delta = |\mathbf{P}|$$

$$\rightarrow E = \frac{\sigma_f}{\varepsilon_0} - \frac{|\mathbf{P}|}{\varepsilon_0}$$

$$\rightarrow E + \frac{|\mathbf{P}|}{\varepsilon_0} = \frac{\sigma_f}{\varepsilon_0}$$

Assumendo

$$\mathbf{P} = \varepsilon_0 \chi_e \mathbf{E}$$

$$\rightarrow E + \frac{\varepsilon_0 \chi_e E}{\varepsilon_0} = \frac{\sigma_f}{\varepsilon_0} \rightarrow E(1 + \chi_e) = \frac{\sigma_f}{\varepsilon_0} = E_0$$

$$\rightarrow \kappa \equiv \varepsilon_r = 1 + \chi_e$$

Polarizzazione non uniforme

Straterello di dielettrico nel c. esterno:

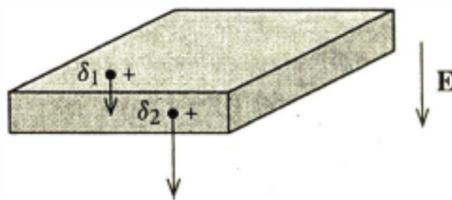
Cariche entro spessore δ da faccia n. 1 entrano

Cariche entro spessore δ da faccia n. 2 escono

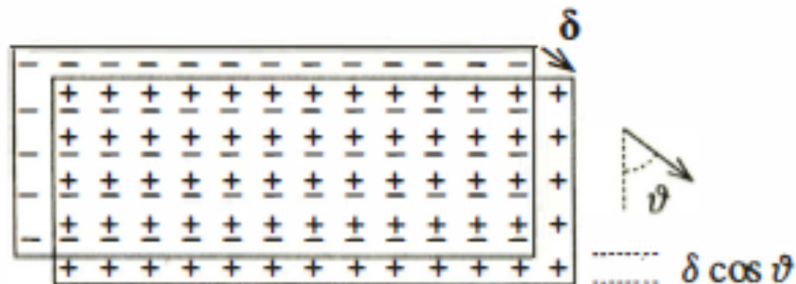
Se \mathbf{P} uniforme \rightarrow Bilancio in pareggio

Se \mathbf{P} non uniforme \rightarrow Variazione carica nello straterello

\rightarrow Comparsa di cariche di volume

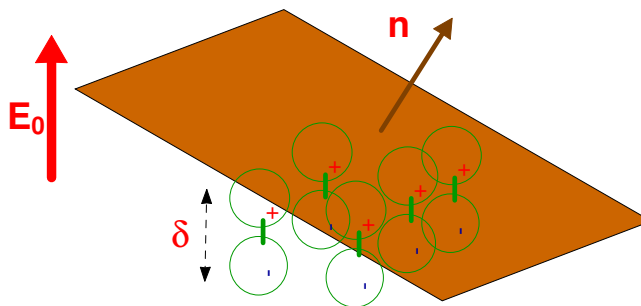


Effetto non ortogonalita' superficie - \mathbf{E} :

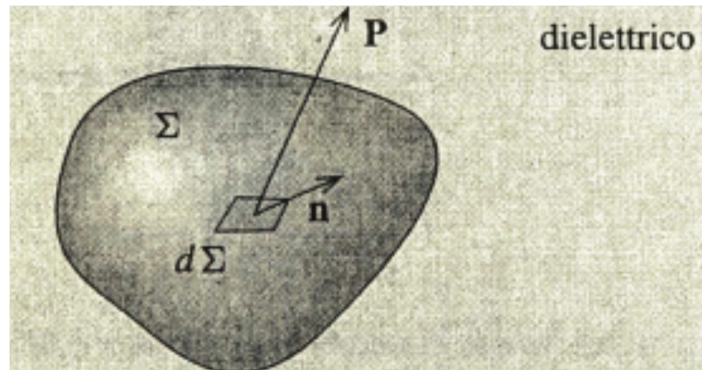


Spessore in cui compaiono cariche non compensate:

$$\delta \cos \theta \rightarrow \sigma_p = Nq\delta \cos \theta = P \cos \theta = \mathbf{P} \cdot \hat{\mathbf{n}}$$



Volume arbitrario V all'interno del dielettrico,
delimitato da superficie Σ :



Polarizzazione \rightarrow Ingresso/Uscita di cariche da V

Carica elementare che attraversa l'elemento di superficie $d\Sigma$:

$$dQ = \mathbf{P} \cdot \hat{\mathbf{n}} d\Sigma$$

Carica totale in ingresso a $V = -$ Carica totale che attraversa Σ
(segno $-$ viene da vettore normale a Σ diretto verso l'esterno)

$$\Delta Q = - \int_{\Sigma} \mathbf{P} \cdot \hat{\mathbf{n}} d\Sigma = \int_V \rho_p dV$$

Teo. della divergenza:

$$- \int_{\Sigma} \mathbf{P} \cdot \hat{\mathbf{n}} d\Sigma = - \int_V \nabla \cdot \mathbf{P} dV$$

$$\rightarrow \rho_p = -\nabla \cdot \mathbf{P}$$

\mathbf{P} uniforme, o anche solo solenoidale:

$$\nabla \cdot \mathbf{P} = 0 \rightarrow \rho_p = 0$$

I 3 vettori elettrici

Eq. elettrostatica:

$$\begin{cases} \nabla \cdot \mathbf{E} = \frac{\rho}{\epsilon_0} & \text{teo. di Gauss} \\ \nabla \times \mathbf{E} = 0 & \text{irrotazionalita' di } \mathbf{E} \end{cases}$$

valide anche nei dielettrici, ma con

$$\rho = \rho_f + \rho_p$$

$$\rightarrow \nabla \cdot \mathbf{E} = \frac{\rho_f + \rho_p}{\epsilon_0} = \frac{\rho_f - \nabla \cdot \mathbf{P}}{\epsilon_0}$$

$$\rightarrow \nabla \cdot \mathbf{E} + \frac{\nabla \cdot \mathbf{P}}{\epsilon_0} = \frac{\rho_f}{\epsilon_0}$$

$$\rightarrow \nabla \cdot \left(\mathbf{E} + \frac{\mathbf{P}}{\epsilon_0} \right) = \frac{\rho_f}{\epsilon_0}$$

Definizione:

$\mathbf{D} \equiv \epsilon_0 \mathbf{E} + \mathbf{P}$ vettore spostamento elettrico

$\rightarrow \nabla \cdot \mathbf{D} = \rho_f$ legato alle sole cariche libere

Assumendo:

$\mathbf{P} = \epsilon_0 \chi_e \mathbf{E}$ dielettrico lineare, isotropo

$\rightarrow \mathbf{D} \equiv \epsilon_0 \mathbf{E} + \epsilon_0 \chi_e \mathbf{E} = \epsilon_0 (1 + \chi_e) \mathbf{E} = \epsilon_0 \epsilon_r \mathbf{E} = \epsilon \mathbf{E}$ rel. costitutiva

$\rightarrow \nabla \cdot (\epsilon_r \mathbf{E}) = \rho_f$

$$\nabla \times \mathbf{E} = 0$$

Se $\epsilon_r = \text{cost}$, dielettrico infinito (no disomogeneita')

$\rightarrow \nabla \times (\epsilon_r \mathbf{E}) = 0$ dielettrico omogeneo

Eq. elettrostatica nel dielettrico:

$$\begin{cases} \nabla \cdot (\epsilon_r \mathbf{E}) = \rho_f \\ \nabla \times (\epsilon_r \mathbf{E}) = 0 \end{cases} \text{ cfr. eq. nel vuoto } \begin{cases} \nabla \cdot \mathbf{E}_0 = \rho_f \\ \nabla \times \mathbf{E}_0 = 0 \end{cases}$$

Stesse equazioni \rightarrow Stesse soluzioni

$\rightarrow \mathbf{E} = \frac{\mathbf{E}_0}{\epsilon_r}$ c. nel dielettrico

Per dielettrico lineare, isotropo, omogeneo e illimitato (!):

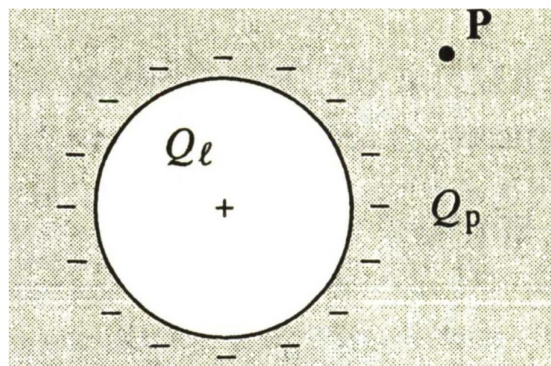
$$\mathbf{P} = \frac{\epsilon_r - 1}{\epsilon_r} \mathbf{D}$$

$$\rightarrow \rho_p = -\nabla \cdot \mathbf{P} = -\nabla \cdot \left(\frac{\epsilon_r - 1}{\epsilon_r} \mathbf{D} \right) = -\frac{\epsilon_r - 1}{\epsilon_r} \nabla \cdot \mathbf{D}$$

In assenza di cariche libere:

$$\nabla \cdot \mathbf{D} = 0 \rightarrow \rho_p = 0 \text{ assenza di cariche di volume}$$

Esempio: sferetta conduttrice in fluido dielettrico



Carica libera +va Q_l su sferetta:

→ Carica di superficie -va Q_p all'interfaccia sferetta/fluido

→ In un punto qualsiasi del dielettrico:

C. elettrico uguale a quello di una carica puntiforme $Q_l + Q_p < Q_l$

Le cariche di polarizzazione *schermano* la carica libera

→ C. elettrico ridotto

Per campi statici: Variazione di \mathbf{E} e \mathbf{D} all'interfaccia fra 2 dielettrici

Flusso di \mathbf{D} :

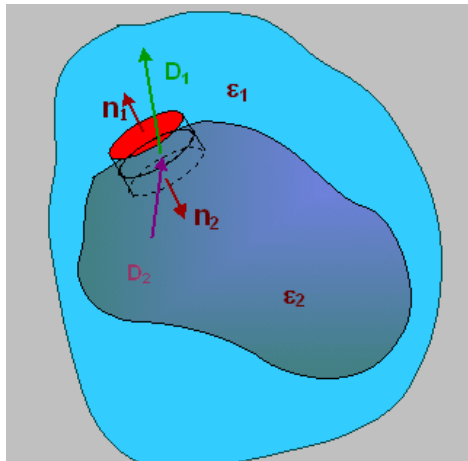
Superficie cilindrica attraverso l'interfaccia, $h \rightarrow 0$: Solo flusso attraverso le basi

$$q_f = 0 \rightarrow \Phi = 0 \rightarrow \mathbf{D}_1 \cdot \hat{\mathbf{n}}_1 = \mathbf{D}_2 \cdot \hat{\mathbf{n}}_2$$

Circuitazione di \mathbf{E} :

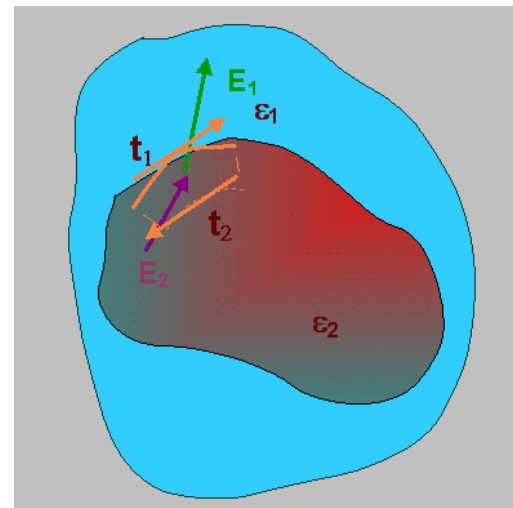
Percorso rettangolare attraverso l'interfaccia, $h \rightarrow 0$: Solo contributo dai lati lunghi

$$\oint \mathbf{E} \cdot d\mathbf{l} = 0 \rightarrow \mathbf{E}_1 \cdot \hat{\mathbf{t}}_1 = \mathbf{E}_2 \cdot \hat{\mathbf{t}}_2$$



$$\rightarrow \mathbf{D}_1 \cdot \hat{\mathbf{n}}_1 = \mathbf{D}_2 \cdot \hat{\mathbf{n}}_2$$

La componente normale di \mathbf{D} si conserva

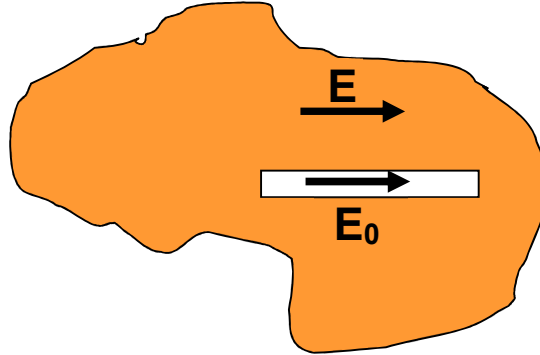


$$\rightarrow \mathbf{E}_1 \cdot \hat{\mathbf{t}}_1 = \mathbf{E}_2 \cdot \hat{\mathbf{t}}_2$$

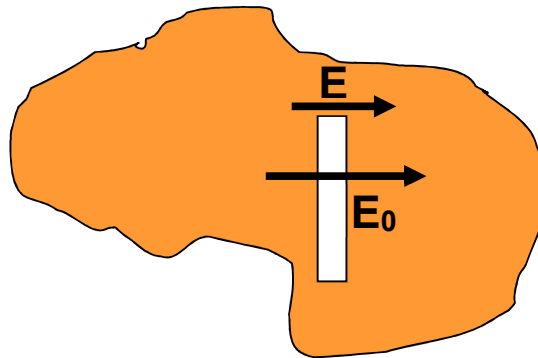
La componente tangenziale di \mathbf{E} si conserva

Campo in una cavita' praticata nel dielettrico: \mathbf{E}_0

Dipendono da forma e orientamento della cavita' rispetto a \mathbf{E}



$$E_{t \text{ diel}} = E_{t \text{ cav}} \rightarrow \mathbf{E}_0 = \mathbf{E}$$



$$D_{n \text{ diel}} = D_{n \text{ cav}} \rightarrow \mathbf{D}_0 = \mathbf{D}$$
$$\rightarrow \varepsilon \mathbf{E} = \varepsilon_0 \mathbf{E}_0 \rightarrow \varepsilon_r \mathbf{E} = \mathbf{E}_0$$